

Спектральный анализ разностных схем

1 Необходимое спектральное условие устойчивости Неймана

Рассмотрим двухслойную схему

$$\begin{cases} By_t + Ay = 0, \\ y^0 = u^0, \end{cases} \quad (1.1)$$

где операторы A и B являются постоянными, а оператор B имеет ограниченный обратный. Тогда уравнение (1.1) можно переписать в виде:

$$y^{j+1} = (E - \tau B^{-1}A)y^j, \quad j = 0, 1, \dots, j_0 - 1.$$

Пусть оператор перехода со слоя на слой $S = E - \tau B^{-1}A$ линеен. Если схема (1.1) устойчива, то справедлива оценка

$$\|y^j\| \leq M \|y^0\|, \quad j = 1, 2, \dots, j_0. \quad (1.2)$$

В качестве нормы $\|\cdot\|$ на слое j ($j = 0, 1, \dots, j_0$) выберем разностный аналог равномерной нормы:

$$\|y^j\| = \max_n |y_n^j|.$$

Если задача (1.1) устойчива по начальным данным, то условие (1.2) выполняется, в частности, если начальная функция представляет собой какую-нибудь гармонику:

$$y_n^0 = e^{i\alpha n}, \quad n = 0, 1, \dots, n_0,$$

где α — вещественный параметр. Так как по предположению оператор $(E - \tau B^{-1}A)$ линеен, то

$$y^1 = (E - \tau B^{-1}A)y^0 \Rightarrow y_n^1 = \lambda e^{i\alpha n}, \quad n = 0, 1, \dots, n_0, \quad (1.3)$$

где $\lambda = \lambda(\alpha)$ — число, не зависящее от n , которое получается, если в правой части выражения (1.3) вынести $e^{i\alpha n}$ за скобку. Но тогда

$$y^2 = (E - \tau B^{-1}A)y^1 = \lambda(E - \tau B^{-1}A)y^0 = \lambda^2 e^{i\alpha n} \Rightarrow y^j = \lambda^j e^{i\alpha n}.$$

Следовательно,

$$\max_n |y_n^j| = |\lambda(\alpha)|^j \max_n |e^{i\alpha n}| = |\lambda(\alpha)|^j.$$

Для выполнения условия (1.2) необходимо, чтобы выполнялось неравенство:

$$|\lambda(\alpha)|^j \leq M, \quad j = 0, 1, \dots, j_0,$$

которое будет заведомо выполнено, если

$$|\lambda(\alpha)| \leq 1 + C_1 \tau, \tag{1.4}$$

где C_1 — число, которое не зависит ни от шагов сетки, ни от входных данных. В самом деле,

$$(1 + C_1 \tau)^j \leq e^{C_1 \tau j} \leq e^{C_1 T} = M, \quad T = \tau j_0.$$

Гармоника $e^{i\alpha n}$ является собственной функцией оператора перехода $(E - \tau B^{-1}A)$ со слоя j на $j + 1$, соответствующей собственному значению $\lambda(\alpha)$.

Линия, которую пробегает точка $\lambda(\alpha)$ на комплексной плоскости, когда α принимает все возможные значения на вещественной оси, является спектром оператора перехода со слоя на слой.

Утверждение 1.1 (Необходимое спектральное условие Неймана устойчивости схемы по начальным данным):

спектр оператора перехода со слоя на слой должен лежать в круге радиуса $1 + C_1 \tau$ на комплексной плоскости.

Замечание 1.2 Если спектр не зависит от τ , то условие (1.4) равносильно требованию, чтобы спектр лежал в единичном круге:

$$|\lambda(\alpha)| \leq 1. \tag{1.5}$$

2 Примеры

Рассмотрим ряд разностных схем, соответствующих задаче Коши для уравнения переноса:

$$\begin{cases} \frac{\partial u}{\partial t} + \frac{\partial u}{\partial x} = 0, & x \in \mathbb{R}^1, t \in (0, T] \\ u(x, 0) = \mu(x), & x \in \mathbb{R}^1. \end{cases}$$

Пример 2.1. *Исследуйте на устойчивость схему*

$$\begin{cases} \frac{y_n^{j+1} - y_n^j}{\tau} + \frac{y_n^j - y_{n-1}^j}{h} = 0, & n = 0, \pm 1, \pm 2, \dots, j = 0, 1, \dots, j_0 - 1; \\ y_n^0 = \mu(x_n) \equiv \mu_n, & n = 0, \pm 1, \pm 2, \dots \end{cases}$$

РЕШЕНИЕ. Шаблон рассматриваемой схемы представлен на рис.1:

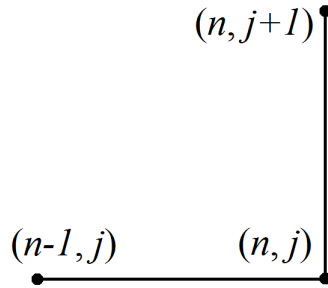


Рис. 1: Шаблон схемы

Возьмем в качестве начального условия гармонику $e^{i\alpha n}$. Рассмотрим оператор перехода со слоя на слой:

$$y_n^{j+1} = y_n^j - \frac{\tau}{h} (y_n^j - y_{n-1}^j).$$

Пусть $\frac{\tau}{h} = r = \text{const}$. Тогда при $j = 0$ получаем:

$$y_n^1 = e^{i\alpha n} - r (e^{i\alpha n} - e^{i\alpha(n-1)}) = \underbrace{\{1 - r(1 - e^{-i\alpha})\}}_{\lambda(\alpha)} e^{i\alpha n} = \lambda e^{i\alpha n}.$$

Следовательно, при выбранных начальных условиях

$$y_n^j = \lambda^j e^{i\alpha n}, \quad j = 1, 2, \dots, j_0,$$

где

$$\lambda(\alpha) = 1 - r(1 - e^{-i\alpha}) = 1 - r + r e^{-i\alpha}.$$

Спектр $\lambda(\alpha)$ рассматриваемой задачи представляет собой окружность с центром в точке $1 - r$ и радиусом r . Так как $\lambda(\alpha)$ не зависит от τ , то спектральный критерий устойчивости схемы имеет вид

$$|\lambda(\alpha)| \leq 1,$$

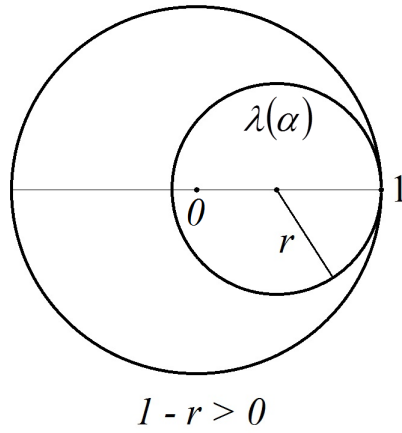


Рис. 2: Спектр оператора перехода со слоя на слой

то есть он должен полностью содержаться в круге единичного радиуса с центром в нуле на комплексной плоскости. Из рис.2 очевидно, что это условие выполнено при $r \leq 1$.

Пример 2.2. *Исследуйте на устойчивость схему*

$$\begin{cases} \frac{y_n^{j+1} - y_n^j}{\tau} + \frac{y_{n+1}^j - y_n^j}{h} = 0, & n = 0, \pm 1, \pm 2, \dots, \quad j = 0, 1, \dots, j_0 - 1; \\ y_n^0 = \mu(x_n) \equiv \mu_n, & n = 0, \pm 1, \pm 2, \dots \end{cases}$$

РЕШЕНИЕ. Шаблон рассматриваемой схемы представлен на рис.3: Возьмем в качестве

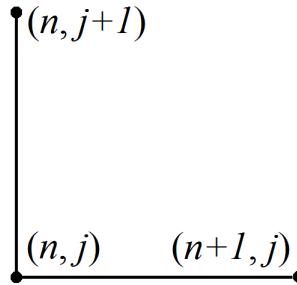


Рис. 3: Шаблон схемы

начального условия гармонику $e^{i\alpha n}$. Тогда решение имеет вид:

$$y_n^j = \lambda^j e^{i\alpha n}, \quad j = 1, 2, \dots, j_0.$$

Для того, чтобы найти $\lambda(\alpha)$, подставим это выражение в уравнение:

$$\begin{aligned} y_n^{j+1} = y_n^j - \frac{\tau}{h} (y_{n+1}^j - y_n^j) &\Rightarrow \lambda^{j+1} e^{i\alpha n} = \lambda^j e^{i\alpha n} - \frac{\tau}{h} (\lambda^j e^{i\alpha(n+1)} - \lambda^j e^{i\alpha n}) \Rightarrow \\ \lambda &= 1 - \frac{\tau}{h} (e^{i\alpha} - 1). \end{aligned}$$

Пусть $\frac{\tau}{h} = r = \text{const}$. Тогда спектр оператора перехода со слоя на слой имеет вид:

$$\lambda = 1 + r - r e^{i\alpha}$$

и представляет собой окружность с центром в точке $1+r$ и радиусом r . Из рис. 4 видно, что условие Неймана для рассматриваемой схемы всегда не выполнено.

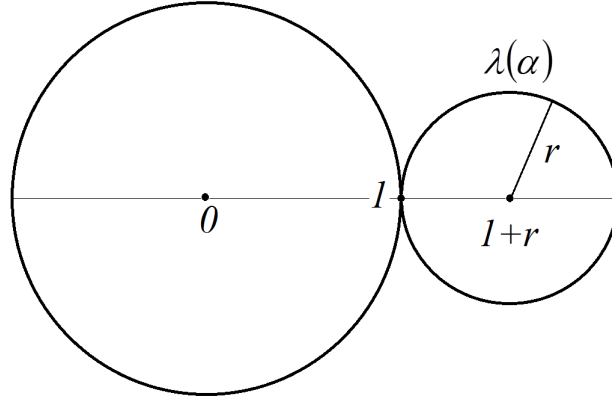


Рис. 4: Спектр оператора перехода в примере 2.2.

Пример 2.3. *Исследуйте на устойчивость с помощью спектрального критерия явную схему для задачи:*

$$\begin{cases} \frac{\partial u}{\partial t} - a^2 \frac{\partial^2 u}{\partial x^2} = 0, & x \in \mathbb{R}^1, t \in (0, T], \\ u(x, 0) = \mu(x), & x \in \mathbb{R}^1. \end{cases}$$

РЕШЕНИЕ. Явная схема для рассматриваемой задачи имеет вид:

$$\begin{cases} \frac{y_n^{j+1} - y_n^j}{\tau} - a^2 \frac{y_{n+1}^j - 2y_n^j + y_{n-1}^j}{h^2} = 0, & n = 0, \pm 1, \pm 2, \dots, j = 0, 1, \dots, j_0 - 1; \\ y_n^0 = \mu(x_n) \equiv \mu_n, & n = 0, \pm 1, \pm 2, \dots \end{cases}$$

Возьмем в качестве начального условия гармонику $e^{i\alpha n}$. Тогда решение имеет вид:

$$y_n^j = \lambda^j e^{i\alpha n}, \quad j = 1, 2, \dots, j_0.$$

Подставляя его в уравнение и сокращая на $\lambda^j e^{i\alpha n}$, получаем:

$$\frac{\lambda - 1}{\tau} - a^2 \frac{e^{i\alpha} - 2 + e^{-i\alpha}}{h^2} = 0.$$

Так как

$$\frac{e^{i\alpha} - 2 + e^{-i\alpha}}{4} = - \left(\frac{e^{i\frac{\alpha}{2}} - e^{-i\frac{\alpha}{2}}}{2i} \right)^2 = - \sin^2 \frac{\alpha}{2},$$

то

$$\lambda(\alpha) = 1 - 4ra^2 \sin^2 \frac{\alpha}{2}, \quad r = \frac{\tau}{h^2}.$$

При изменении α число $\lambda(\alpha)$ пробегает отрезок

$$1 - 4ra^2 \leq \lambda \leq 1.$$

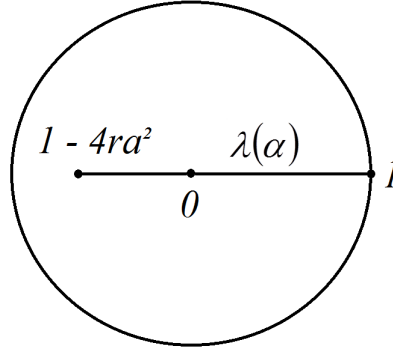


Рис. 5: Спектр оператора перехода в примере 2.3.

Условие Неймана выполнено, если

$$1 - 4ra^2 \geq -1 \Rightarrow r \leq \frac{1}{2a^2} \Leftrightarrow \tau \leq \frac{h^2}{2a^2}.$$

Пример 2.4. *Исследуйте на устойчивость с помощью спектрального критерия неявную схему для задачи:*

$$\begin{cases} \frac{\partial u}{\partial t} - a^2 \frac{\partial^2 u}{\partial x^2} = 0, & x \in \mathbb{R}^1, t \in (0, T], \\ u(x, 0) = \mu(x), & x \in \mathbb{R}^1. \end{cases}$$

РЕШЕНИЕ. Неявная схема для рассматриваемой задачи имеет вид:

$$\begin{cases} \frac{y_n^{j+1} - y_n^j}{\tau} - a^2 \frac{y_{n+1}^{j+1} - 2y_n^{j+1} + y_{n-1}^{j+1}}{h^2} = 0, & n = 0, \pm 1, \pm 2, \dots, \quad j = 0, 1, \dots, j_0 - 1; \\ y_n^0 = \mu(x_n) \equiv \mu_n, & n = 0, \pm 1, \pm 2, \dots \end{cases}$$

Беря в качестве начального условия гармонику $e^{i\alpha n}$, получаем:

$$y_n^j = \lambda^j e^{i\alpha n}, \quad j = 1, 2, \dots, j_0 \Rightarrow \lambda - 1 - \frac{a^2 \tau}{h^2} \lambda (e^{i\alpha} - 2 + e^{-i\alpha}) = 0 \Rightarrow$$

$$\lambda(\alpha) = \frac{1}{1 + 4ra^2 \sin^2 \frac{\alpha}{2}}, \quad r = \frac{\tau}{h^2}.$$

Спектр $\lambda(\alpha)$ заполняет отрезок вещественной оси:

$$\frac{1}{1 + 4ra^2} \leq \lambda(\alpha) \leq 1,$$

то есть условие Неймана выполнено при любом r .

Рассмотрим теперь задачу Коши для уравнения теплопроводности в случае двух пространственных переменных:

$$\begin{cases} \frac{\partial u}{\partial t} = \frac{\partial^2 u}{\partial x^2} + \frac{\partial^2 u}{\partial y^2}, & (x, y) \in \mathbb{R}^2, t \in (0, T], \\ u(x, y, 0) = \mu(x, y), & (x, y) \in \mathbb{R}^2. \end{cases}$$

Пример 2.5. *Исследуйте на устойчивость с помощью спектрального критерия явную схему для сформулированной выше задачи.*

РЕШЕНИЕ. Введем сетку:

$$x_n = h_x n, \quad n = 0, \pm 1, \pm 2, \dots; \quad y_m = h_y m, \quad m = 0, \pm 1, \pm 2, \dots; \quad t_j = \tau j, \quad j = 0, 1, \dots, j_0.$$

В случае двух пространственных переменных явная схема для уравнения теплопроводности имеет вид:

$$\left\{ \begin{array}{l} \frac{v_{n,m}^{j+1} - v_{n,m}^j}{\tau} - \frac{v_{n+1,m}^j - 2v_{n,m}^j + v_{n-1,m}^j}{h_x^2} \\ - \frac{v_{n,m+1}^j - 2v_{n,m}^j + v_{n,m-1}^j}{h_y^2} = 0, \quad n, m = 0, \pm 1, \pm 2, \dots, \quad j = 0, 1, \dots, j_0 - 1; \\ v_{n,m}^0 = \mu(x_n, y_m) \equiv \mu_{n,m}, \quad n, m = 0, \pm 1, \pm 2, \dots \end{array} \right.$$

Задавая начальную функцию $v_{n,m}^0$ в виде двумерной гармоники, зависящей от двух вещественных параметров α и β :

$$v_{n,m}^0 = e^{i(\alpha n + \beta m)},$$

найдем решения вида

$$v_{n,m}^j = \lambda^j e^{i(\alpha n + \beta m)},$$

где

$$\frac{\lambda - 1}{\tau} - \frac{e^{i\alpha} - 2 + e^{-i\alpha}}{h_x^2} - \frac{e^{i\beta} - 2 + e^{-i\beta}}{h_y^2} = 0 \Rightarrow \lambda(\alpha, \beta) = 1 - 4r_x \sin^2 \frac{\alpha}{2} - 4r_y \sin^2 \frac{\beta}{2},$$

где $r_x = \frac{\tau}{h_x^2}$ и $r_y = \frac{\tau}{h_y^2}$. Пусть $r = \max\{r_x, r_y\}$. Тогда при изменении параметров α и β точка $\lambda(\alpha, \beta)$ пробегает отрезок

$$1 - 8r \leq \lambda(\alpha) \leq 1$$

вещественной оси. Необходимое условие Неймана устойчивости схемы выполняется, если

$$1 - 8r \geq -1 \Rightarrow r \leq \frac{1}{4} \Rightarrow \tau \leq \frac{\min\{h_x^2, h_y^2\}}{4}.$$

С помощью спектрального критерия можно исследовать и трехслойные линейные схемы. Рассмотрим, например, задачу Коши для уравнения колебаний на прямой:

$$\left\{ \begin{array}{l} \frac{\partial^2 u}{\partial t^2} - \frac{\partial^2 u}{\partial x^2} = 0, \quad x \in \mathbb{R}^1, \quad t \in (0, T]; \\ u(x, 0) = \varphi(x), \quad \frac{\partial u}{\partial t}(x, 0) = \psi(x), \quad x \in \mathbb{R}^1. \end{array} \right. \quad (2.1)$$

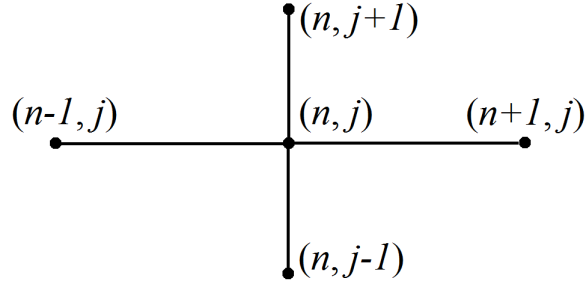


Рис. 6: Шаблон для разностного уравнения колебаний

Аппроксимируем задачу (2.1) с помощью разностной схемы, шаблон которой представлен на рис. 6. Соответствующая разностная схема имеет вид:

$$\begin{cases} \frac{y_n^{j+1} - 2y_n^j + y_n^{j-1}}{\tau^2} - \frac{y_{n+1}^j - 2y_n^j + y_{n-1}^j}{h^2} = 0, & n = 0, \pm 1, \pm 2, \dots, \quad j = 1, 2, \dots, j_0 - 1; \\ y_n^j = \varphi(x_n) \equiv \varphi_n, \quad \frac{y_n^1 - y_n^0}{\tau} = \psi(x_n) \equiv \psi_n, & n = 0, \pm 1, \pm 2, \dots \end{cases}$$

Пусть $\varphi_n = e^{i\alpha n}$ и $\psi_n = e^{i\alpha n}$. Тогда, в силу линейности и однородности уравнения, получим решения вида $y_n^j = \lambda^j e^{i\alpha n}$. Подставляя это решение в разностное уравнение и сокращая на $\lambda^{j-1} e^{i\alpha n}$, приходим к квадратному уравнению:

$$\frac{\lambda^2 - 2\lambda + 1}{\tau^2} - \lambda \frac{e^{i\alpha} - 2 + e^{-i\alpha}}{h^2} = 0 \Rightarrow \lambda^2 - 2 \left(1 - 2r^2 \sin^2 \frac{\alpha}{2}\right) \lambda + 1 = 0, \quad r = \frac{\tau}{h}.$$

Произведение корней полученного квадратного уравнения равно 1. Если его дискриминант

$$D(\alpha) = 4 \left(1 - 2r^2 \sin^2 \frac{\alpha}{2}\right)^2 - 4 = 16r^2 \sin^2 \frac{\alpha}{2} \left(r^2 \sin^2 \frac{\alpha}{2} - 1\right)$$

отрицателен, то корни $\lambda_1(\alpha)$ и $\lambda_2(\alpha)$ комплексно сопряжены и равны 1 по модулю. При

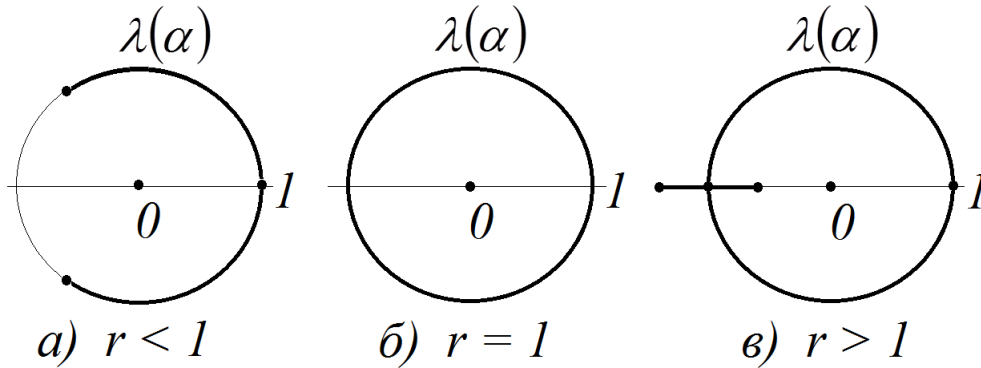


Рис. 7: Спектр схемы для уравнения колебаний

$r < 1$ дискриминант отрицателен при всех α , поэтому при изменении α комплексно-сопряженные корни $\lambda_1(\alpha)$ и $\lambda_2(\alpha)$ пробегают часть окружности радиуса 1 (рис.7 а). При $r = 1$ спектр заполняет всю единичную окружность (рис.7 б). При $r > 1$ по мере увеличения α от нуля до π корни движутся из точки $\lambda = 1$ по единичной окружности, один

по часовой стрелке, а другой против часовой стрелки, пока не сойдутся в точке $\lambda = -1$. Затем один из корней пойдет по вещественной оси из точки $\lambda = -1$ влево, а другой — вправо, причем $\lambda_1 \lambda_2 = 1$ (рис.7 в).

Итак, необходимое условие устойчивости выполняется при $r \leq 1$.

Рассмотрим второй возможный подход к построению и исследованию разностных схем для уравнения колебаний. Задача Коши (2.1) для уравнения колебаний на прямой эквивалентна следующей задаче для системы двух дифференциальных уравнений первого порядка:

$$\begin{cases} \frac{\partial u}{\partial t} = \frac{\partial v}{\partial x} \\ \frac{\partial v}{\partial t} = \frac{\partial u}{\partial x} \\ u(x, 0) = \varphi(x) \\ v(x, 0) = \tilde{\psi}(x) \end{cases} \quad \begin{matrix} x \in \mathbb{R}^1, \quad t \in (0, T]; \\ \\ x \in \mathbb{R}^1, \end{matrix} \quad (2.2)$$

где $\tilde{\psi}(x)$ — первообразная функции $\psi(x)$. Введем векторы-столбцы:

$$w(x, t) = (u(x, t), v(x, t))^T, \quad \Phi(x) = (\varphi(x), \tilde{\psi}(x))^T.$$

Рассмотрим задачу (2.2) в векторной форме:

$$\begin{cases} \frac{\partial w}{\partial t} - A \frac{\partial w}{\partial x} = 0, & x \in \mathbb{R}^1, \quad t \in (0, T]; \\ w(x, 0) = \Phi(x), & x \in \mathbb{R}^1, \end{cases} \quad (2.3)$$

где

$$A = \begin{bmatrix} 0 & 1 \\ 1 & 0 \end{bmatrix}.$$

Схема 1.

$$\begin{cases} \frac{w_n^{j+1} - w_n^j}{\tau} - A \frac{w_{n+1}^j - w_n^j}{h} = 0, & n = 0, \pm 1, \pm 2, \dots, \quad j = 0, 1, \dots, j_0 - 1, \\ w_n^0 = \Phi(x_n) \equiv \Phi_n, & n = 0, \pm 1, \pm 2, \dots \end{cases} \quad (2.4)$$

Под спектром разностной схемы в случае системы уравнений будем понимать совокупность всех λ , при которых однородная система имеет решения вида:

$$w_n^j = \lambda^j \cdot w^0 e^{i\alpha n}, \quad (2.5)$$

где w^0 — числовой вектор-столбец: $w^0 = (u^0, v^0)^T$.

Подставляя выражение (2.5) в уравнение (2.4) и сокращая на $\lambda^j e^{i\alpha n}$, получаем систему:

$$\frac{\lambda - 1}{\tau} w^0 - A \frac{e^{i\alpha} - 1}{h} w^0 = 0 \Rightarrow ((\lambda - 1)E - r(e^{i\alpha} - 1)A) w^0 = 0, \quad r = \frac{\tau}{h}.$$

Данная система имеет нетривиальные решения тогда и только тогда, когда ее определитель равен нулю:

$$|(\lambda - 1)E - r(e^{i\alpha} - 1)A| = \begin{vmatrix} \lambda - 1 & -r(e^{i\alpha} - 1) \\ -r(e^{i\alpha} - 1) & \lambda - 1 \end{vmatrix} = (\lambda - 1)^2 - r^2(e^{i\alpha} - 1)^2 = 0.$$

Следовательно,

$$\lambda_1(\alpha) = 1 - r + re^{i\alpha}, \quad \lambda_2(\alpha) = 1 + r - re^{i\alpha}.$$

Корни $\lambda_1(\alpha)$ и $\lambda_2(\alpha)$ при изменении вещественного параметра α пробегает окружности радиуса r с центрами в точках $1 - r$ и $1 + r$ (рис. 8). Таким образом, условие устойчивости Неймана не выполнено ни при каком r .

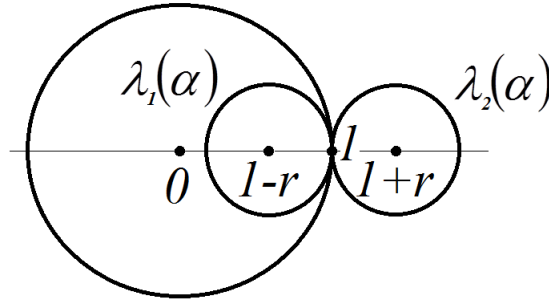


Рис. 8: Спектр схемы (2.4)

Схема 2.

$$\begin{cases} \frac{w_n^{j+1} - w_n^j}{\tau} - A \frac{w_{n+1}^j - w_{n-1}^j}{2h} - \\ - \frac{\tau}{2h^2} (w_{n+1}^j - 2w_n^j + w_{n-1}^j) = 0, \quad n = 0, \pm 1, \pm 2, \dots, \quad j = 0, 1, \dots, j_0 - 1, \\ w_n^0 = \Phi(x_n) \equiv \Phi_n, \quad n = 0, \pm 1, \pm 2, \dots \end{cases} \quad (2.6)$$

Эта схема аппроксимирует задачу (2.3) со вторым порядком точности (по времени и координате). В самом деле, если $w(x, t)$ — достаточно гладкая функция непрерывно меняющихся аргументов x и t , то

$$w_t(x, t) = \frac{1}{\tau} \left(w(x, t) + \tau \frac{\partial w}{\partial t} + \frac{\tau^2}{2} \frac{\partial^2 w}{\partial t^2} + O(\tau^3) - w(x, t) \right) = \frac{\partial w}{\partial t} + \frac{\tau}{2} \frac{\partial^2 w}{\partial t^2} + O(\tau^2).$$

Если $w(x, t)$ — решение задачи (2.3), то

$$\frac{\partial^2 w}{\partial t^2} = A \frac{\partial^2 w}{\partial x \partial t} = A \frac{\partial}{\partial x} \left(\frac{\partial w}{\partial t} \right) = A \frac{\partial}{\partial x} \left(A \frac{\partial w}{\partial x} \right) = A^2 \frac{\partial^2 w}{\partial x^2},$$

причем

$$A^2 = \begin{bmatrix} 0 & 1 \\ 1 & 0 \end{bmatrix} \cdot \begin{bmatrix} 0 & 1 \\ 1 & 0 \end{bmatrix} = \begin{bmatrix} 1 & 0 \\ 0 & 1 \end{bmatrix} = E.$$

Следовательно, выражение $w_t - \frac{\tau}{2}w_{\bar{x}x} - Aw_{\bar{x}}$ будет аппроксимировать уравнение (2.3) со вторым порядком точности по времени, а также по координате за счет симметрии разностных производных.

Характеристическое уравнение для схемы (2.6) имеет вид:

$$\begin{aligned} \frac{\lambda - 1}{\tau}w^0 - A\frac{e^{i\alpha} - e^{-i\alpha}}{2h}w^0 - \frac{\tau}{2h^2}(e^{i\alpha} - 2 + e^{-i\alpha})w^0 &= 0 \Rightarrow \\ (\lambda - 1)w^0 - ir \sin \alpha Aw^0 + 2r^2 \sin^2 \frac{\alpha}{2}w^0 &= 0, \quad r = \frac{\tau}{h} \Rightarrow \\ \begin{vmatrix} \lambda - 1 + 2r^2 \sin^2 \frac{\alpha}{2} & -ir \sin \alpha \\ -ir \sin \alpha & \lambda - 1 + 2r^2 \sin^2 \frac{\alpha}{2} \end{vmatrix} &= 0 \Rightarrow \\ \left(\lambda - 1 + 2r^2 \sin^2 \frac{\alpha}{2}\right)^2 &= -r^2 \sin^2 \alpha. \end{aligned}$$

Из характеристического уравнения находим спектр схемы 2:

$$\lambda_1(\alpha) = 1 - 2r^2 \sin^2 \frac{\alpha}{2} + ir \sin \alpha, \quad \lambda_2(\alpha) = 1 - 2r^2 \sin^2 \frac{\alpha}{2} - ir \sin \alpha.$$

Следовательно,

$$\begin{aligned} |\lambda_{1,2}|^2 &= \left(1 - 2r^2 \sin^2 \frac{\alpha}{2}\right)^2 + r^2 \sin^2 \alpha = 1 - 4r^2 \sin^2 \frac{\alpha}{2} + 4r^4 \sin^4 \frac{\alpha}{2} + 4r^2 \sin^2 \frac{\alpha}{2} \cos^2 \frac{\alpha}{2} = \\ &= 1 + 4r^2 \sin^2 \frac{\alpha}{2} \left(-1 + r^2 \sin^2 \frac{\alpha}{2} + \cos^2 \frac{\alpha}{2}\right) = 1 + 4r^2 \sin^4 \frac{\alpha}{2} (r^2 - 1). \end{aligned}$$

Таким образом, условие

$$|\lambda| \leq 1 \Leftrightarrow 1 - |\lambda|^2 \geq 0$$

выполнено, если $r \leq 1$, и не выполнено, если $r > 1$.

Итак, подведем итог. Если необходимое условие Неймана устойчивости схемы по начальным данным не выполнено, то ни при каком выборе норм нельзя ожидать устойчивости схемы, а в случае его выполнения можно надеяться, что при некотором разумном выборе норм устойчивость имеет место. Таким образом, это условие позволяет отбраковывать заведомо негодные схемы, для которых условие Неймана не выполняется, и исследовать потенциально пригодные схемы (для которых условие Неймана выполнено) более мощными методами, например, энергетическими.